



شانزدهمین سمینار ملی مهندسی سطح

بهمن ماه ۱۳۹۴

اجمیع علوم و تکنولوژی سطح ایران

ساخت پوشش نانولوله‌های اکسید تیتانیم آلاینده شده به روش آندایزینگ جهت افزایش فعالیت فتوکاتالیستی

ادیب خادمی^۱، شاهین خامنه اصل^۲، نعیمه سادات پیغمبردoust^۳

- ^۱ دانشگاه تبریز، دانشکده مهندسی مکانیک، گروه مهندسی مواد (کارشناسی ارشد مهندسی مواد)
- ^۲ دانشگاه تبریز، دانشکده مهندسی مکانیک، گروه مهندسی مواد (عضو هیئت علمی دانشگاه تبریز - دانشیار)
- ^۳ دانشگاه تبریز، دانشکده مهندسی مکانیک، گروه مهندسی مواد (دانشجوی دکتری مهندسی مواد)

چکیده

نانولوله‌های دی اکسید تیتانیم به دلیل ساختار نانولوله‌ای و خواص وابسته به اندازه آن مورد توجه بسیار قرار گرفته‌اند. با توجه به اینکه باند انرژی اکسید تیتانیم در فاز آناتاز (3.2 eV) خاصیت فتوکاتالیستی آن را تعیین می‌کند، که مربوط به جابه‌جایی الکترون‌های و حفره‌های نوار ظرفیت در فرایند فتوکاتالیستی می‌شود، اخیراً مطالعه روی بهبود خواص فتوکاتالیستی آرایه نانولوله‌های دی اکسید تیتانیم از قبیل آلایش نانولوله‌های مواد فلزی، غیرفلزی و اصلاح نانوذره‌های نیمه‌هادی صورت گرفته است. در این پژوهش ستر نانولوله‌های منظم با کنترل پارامترهای آندایزینگ و سپس آلایش این نانولوله‌ها جهت افزایش خواص فتوکاتالیستی انجام شده است. در ابتدا با بهینه نمودن پارامترهای ستر، نانولوله‌های دی اکسید تیتانیم به روش آندایزینگ تولید شدند. شرایط بهینه غلظت HF ۰.۵٪، زمان ۲۰ دقیقه و ولتاژ ۲۰ ولت بدست آمد، سپس بر روی آن‌ها عملیات آنیل جهت به دست آوردن ساختار مناسب (آناتاز) انجام شد و در پایان نانولوله‌ها توسط آهن آلایش شدند. خواص فتوکاتالیزوری آرایه نانولوله‌ها قبل و بعد آلایش به منظور تعیین تاثیر و مقدار ماده آلاینده انجام شد. جهت تعیین مورفولوژی و ساختار کریستالی و خواص فتوکاتالیستی و ماده آلاینده آنالیزهای XRD، SEM، EDX و اسپکتروفوتومتر UV-vis انجام شد و مشخص گردید مقدار بهینه نیترات آهن جهت آلایش آهن برابر ۱M می‌باشد و حضور آلاینده آهن به مقدار چشم‌گیری باعث افزایش خاصیت فتوکاتالیستی می‌شود.

واژه‌های کلیدی: آندایزینگ؛ نانولوله‌های اکسید تیتانیم؛ خواص فتوکاتالیستی؛ آلایش نانولوله‌ها؛ گاف انرژی.

مقدمه

آندازینگ فرایندی است که طی آن یک لایه اکسید متخلخل نانولولهای شکل در سطح فلز مورد نظر به وجود می‌آید و از روش‌های مهم در سنتز نانولولهای اکسید تیتانیم می‌باشد. یکی از مهم‌ترین کاربردهای دی اکسید تیتانیم در کاربردهای فتوکاتالیزوری است. این امر به خاطر قابلیت‌های بالای ساختار دی اکسید تیتانیم، در برابر مواد آنتی باکتریال و واکنش‌های فتوکاتالیزوری است. خاصیت فتوکاتالیزوری دی اکسید تیتانیم در گندزدایی و تصفیه آب، پلاش هوا، تعدیل فاضلاب‌ها و همچنین حذف آلاینده‌های رنگی کارخانه‌های رنگ‌سازی اهمیت بالایی دارد. در سال ۱۹۹۱ زولینگ^۱ و همکارانش موفق به ایجاد نانو حفره‌هایی در سطح فویل تیتانیم از طریق آندایز کردن در الکتروولیت اسید فلوریدریک شدند. در ادامه در سال ۲۰۰۱ گانگ^۲ و همکارانش موفق به سنتز نانولولهای تیتانیم در الکتروولیت رفیق شده اسید فلوریدریک شدند [۱]. سپس لی و همکاران تاثیر نانولولهای را بر خواص فتوکاتالیستی، با استفاده از میزان تجزیه متیل نارتیجی در زیر اشعه فرابنفش بررسی کردند [۲]. به دلیل اینکه خاصیت فتوکاتالیستی نانولولهای را باسته به گاف انرژی آن می‌باشد لذا آلاش آنها از اهمیت بسیار زیادی برخوردار است [۳]، از آنجا که نانولولهای دی اکسید تیتانیم حاصل از آندایز به دلیل حضور اکسیژن به صورت آبیزوتروپی از نوع نیمه رسانای نوع II می‌باشد، لذا با آلاش می‌توان آن را به نیمه رسانای نوع p تبدیل کرد و به این ترتیب خاصیت فتوکاتالیستی را افزایش داد [۴]. هدف این پژوهش در بررسی و تقویت خاصیت فتوکاتالیستی حذف رنگدانه متیل اورانٹ که ماده آلاینده محیط زیست است، می‌باشد.

مواد و روش تحقیق

مواد شیمیایی استفاده شده در مرحله اکسیداسیون آندی در

Error! Reference source not found. جدول ۱ ذکر شده است. تجهیزات مورد استفاده نیز به شرح ذیل می‌باشد:

۱- منبع تغذیه ۶۰ ولت - ۳۰ آمپر (MASTECH DC POWER SUPPLY HY30001E)

۲- همزن مغناطیسی (Elma, S15H, Elmasonic)

۳- مولتی متر دیجیتالی (ESCORT 3146A DVAL DISPLAY MULTIMETER) با دقت یک میلی آمپر

و یک صدم میلی ولت

۴- کوره با قابلیت دمای بالا جهت آنیل پوشش‌ها

۵- صفحه کاتند با جنس پلاتین به ابعاد 1×2 سانتی متر

۶- بشر ۳۰۰ میلی لیتری، سیم‌های رابط مسی پوشش دار

۷- لامپ UV

¹ Zwilling

² Kang

شانزدهمین سیمار ملی مهندسی سطح

ورق تیتانیم مورد استفاده که دارای ضخامت 0.16 میلی‌متر بود، در ابعاد 1×2 سانتی‌متر بریده شد. به منظور سهولت در فرایند آماده‌سازی سطح نمونه‌ها، اج شیمیایی به مدت ده دقیقه در محلول 0.75 مولار HF برای از بین بردن ترک‌های و میکرو ترک‌ها انجام شده است، سپس نمونه‌ها توسط استون چربی زدایی شده تا سطحی کاملاً صاف و عاری از ترک به دست بیاید. از یک منبع DC به منظور تامین ولتاژ اعمالی در سلول استفاده شد. آن‌د مربوطه که همان تیتانیم مات شده بود به قطب مثبت منبع و پلاتین که نقش کاتد را داشت، به قطب منفی وصل شدند. در جدول ۲ مشخصات الکتروولیت‌های مورد استفاده، کاتد و شرایط آندایزینگ اعمال شده آمده است. در طول آندایزینگ الکتروولیت توسط همزن هم زده شد تا پلاریزاسون غلطی کاهش باید. بسته به نوع الکتروولیت و غلطت آن آزمایش‌ها در ولتاژها و زمان‌های مختلفی انجام شد. در ضمن تمام نمونه‌ها در دمای اتاق آندایز شدند. در پایان آندایزینگ، نمونه‌ها با لافاصله توسط اتانول شسته شدند و در مجاورت هوای گرم خشک شدند.

به منظور شناسایی و بررسی نانولوله‌ها از دو مدل میکروسکوپ الکترونی روشنی استفاده شد. میکروسکوپ‌های مورد استفاده از نوع گسیل میدانی متعلق به دانشگاه تبریز بود. همچنین به منظور بررسی ابعاد نانولوله‌ها (قطر دهانه، طول و ضخامت دیواره‌ها) از این وسیله استفاده شد. برای این منظور از دستگاه‌های FESEM ساخت شرکت TESCAN مدل MIRA3 متعلق به آزمایشگاه زمین شناسی کرج استفاده شد.

برای به دست آوردن خواص فتوکاتالیزوری، نانولوله‌های دی اکسید تیتانیم ابتدا در محیطی حاوی تور فرابنفش (شیوه‌ساز نور خورشید با طول موج خاص) و رنگدانه آلی MO^۱ آلاینده محیط زیست، در شرایط کنترل شده در مدت در زمان‌های تعیین شده قرار گرفت. محلول مورد استفاده از رنگدانه MO^۱ با غلظت ۱۰ ppm در مقدار ۲۰ ml تهیه شد. نمونه‌هایی از محلول در بازه‌های زمانی ۶۰ دقیقه برای کلیه نمونه‌ها برداشته شده و برای اسپکتروفوتومتری استفاده شد. نمونه‌های آزمایش شده که تحت شرایط مختلف از آزمایش برداشته شده‌اند، توسط اسپکتروفوتومتر طیف‌سنجی می‌شوند. اسپکتروفوتومتر UV/Vis مورد استفاده در این پژوهش متعلق به آزمایشگاه خدماتی دانشگاه شیمی دانشگاه تبریز ساخت شرکت WPA light wave مدل S2000 می‌باشد.

نتایج و بحث

نانولوله‌هایی برای خاصیت فتوکاتالیستی مناسب خواهند بود که از استحکام، پایداری، طول و قطر بیشتر برخوردار باشند [۵, ۶].

نحوه تشکیل فیلم‌های نانولوله‌ای اکسید تیتانیوم را به طور کلی می‌توان در چهار مرحله کلی تشریح کرد:

- ۱) تشکیل و رشد لایه اکسیدی
- ۲) ایجاد ترک‌ها و حفرات کوچک در لایه اکسیدی

^۱ متبل نارنجی

۳) رشد عمودی حفرات به درون لایه اکسیدی

۴) جدا شدن حفرات و تشکیل نانولوله [۷]

شکل ۱ نمودار جریان-زمان در حین سنتز می‌باشد که مراحل فوق را مشخص می‌کند، در مرحله اول به دلیل تشکیل لایه اکسیدی افت شدیدی در نمودار ایجاد می‌گردد سپس با تشکیل ترک‌ها و حفرات موجود در لایه اکسیدی افزایش در جریان صورت می‌گیرد و با تشکیل نانولولهای شیب نمودار کاهش می‌یابد.

برای سنتز نانولولهای شرایط آندازی شامل غلظت محلول، ولتاژ و زمان آندازی بررسی شدند. به این دلیل که این پارامترها تاثیر زیادی بر کیفیت نانولولهای دارند [۸-۱۰]. ولتاژ مورد استفاده در سنتز نانولولهای اکسید تیتانیوم نقش کلیدی را در کنترل ضخامت نانولولهای سنتز شده دارد [۱۱]. شکل ۲ نمودار تغییرات جریان بر حسب زمان را برای نمونه‌های تیتانیومی آندازی شده در سه ولتاژ ۱۰، ۱۵ و ۲۰ ولت در محلول ۵٪ وزنی HF به مدت ۲۰ دقیقه نشان می‌دهد. شماتیک مراحل رشد لایه اکسیدی در شکل نشان داده شده است. در ولتاژهای کمتر از ۱۰ و بیشتر از ۲۰ ولت از روی نمودار می‌توان تشخیص داد که نانولولهای تشکیل نشده اند زیرا حالت تغیر ماند یعنی افت شدید و افزایش جریان بعد از آن مشاهده نمی‌شود. در شکل ۳ تصاویر میکروسکوب الکترونی رویشی از نانولولهای سنتز شده در این سه ولتاژ نشانده داده شده‌اند. در ولتاژ اعمالی ۱۰ ولت حفره‌های با قطری در حدود ۳۰ نانومتر در سطح تیتانیوم به وجود آمده که نشان‌دهنده کم بودن ولتاژ برای انحلال منظم اکسید به منظور شکل‌گیری نانولولهای است. در ولتاژ ۱۵ ولت نانولولهای به صورت ناقص شکل گرفته‌اند ولی باز هم انحلال به صورت کامل صورت نگرفته است و در نهایت در ولتاژ ۲۰ ولت، نانولولهای به صورت تغییک شده و مجزا از هم با قطر ۱۵ نانومتر سنتز شده‌اند در واقع تاثیر دیگر ولتاژ بر روی قطر نانولولهای سنتز شده است که با افزایش ولتاژ افزایش می‌یابد. با استفاده از روابط ۱ و ۲ می‌توان به صورت تقریب قطر نانولولهای را با توجه به ولتاژ اعمالی به دست آورد و قطر نانولولهای سنتز شده را در ولتاژ و الکتروولیت‌های مختلف باهم مقایسه کرد. بر طبق روابط ذکر شده رابطه قطر نانولولهای با ولتاژ اعمالی به صورت خطی و با ضریب زاویه ۵ خواهد بود [۱۲].

$$U = F \times d \quad \text{رابطه ۱}$$

$$D = k \times V \quad \text{رابطه ۲}$$

U: اختلاف پتانسیل (ولت)

F: میدان الکتریکی

d: ضخامت لایه اکسیدی (نانومتر)

D: قطر نانولوله

k: برابر با $2 \times fg$

fg: فاکتور رشد که برای اکسید تیتانیم برابر با $V/2.5\text{nm}$ است

V: اختلاف پتانسیل (ولت)

شانزدهمین سیمار ملی مهندسی سطح

همان طور که در نمودارهای **Error! Reference source not found.** شکل ۲ مشاهده می‌شود مقدار

حریان ابتدایی برای ولتاژ ۲۰ بیشتر از ولتاژ های دیگر می‌باشد که موضوع به دلیل ایجاد یک میدان الکتریکی قوی تر در این ولتاژ است. همچنین منطقه شکست دی الکتریک نیز نسبت به ولتاژ ۱۵ و ۱۰ در محدوده گذار کوچک تری اتفاق افتاده است. علاوه بر این افزایش پس از شکست دی الکتریک نیز نسبت به ولتاژ ۱۵ بیشتر است که این خود نیز دلالت بر افزایش شدت میدان الکتریکی با افزایش ولتاژ آنداز (بر طبق رابطه ۱) دارد. به طور کلی کاهش و افزایش حریان در مرحله اول اکسیداسیون آندی در حدود ۶۰ تا ۹۰ ثانیه طول می‌کشد که بسته به نوع الکتروولیت مورد استفاده در این محدوده تغییر می‌کند و بعد از این مرحله که حریان به حالت پایدار

Error! Reference source not found. می‌رسد، رشد نانولوله‌ها شروع می‌شود. همان طور که در

Error! Reference source not found. شکل ۴ نشان داده شده است نانولوله‌های دی اکسید تیتانیم در زمان ۱۵ دقیقه هنوز به رشد کامل خود نرسیده‌اند بعد از گذشت ۵ دقیقه از مرحله رشد یعنی در زمان ۲۰ دقیقه نانولوله‌های منظم در سطح با موقعیت سنتر شدند، در زمان ۳۰ دقیقه همان طور که در شکل مشخص است به دلیل خوردگی و انحلال بیش از حد نظم این نانولوله‌ها کاهش پیدا کرده است. به نظر می‌رسد که زمان تاثیر چندانی روی قطر نانولوله‌ها ندارد. زمان بهینه برای سنتر این نانولوله‌ها در این نوع محلول برابر ۲۰ دقیقه می‌باشد.

جهت آلایش عنصر آهن در نانولوله‌های دی اکسید تیتانیم نیترات آهن به الکتروولیت اضافه می‌شود، و آلایش در حین سنتر انجام داده می‌شود [۱۳]. به دلیل وجود نیترات آهن در داخل الکتروولیت کلیه واکنش‌های مربوط به سنتر تغییر می‌کنند لذا کنترل مقدار نیترات آهن و دیگر پارامترهای لازم جهت سنتر نانولوله‌ها شامل ولتاژ، زمان، غلظت از اهمیت بسیار زیادی برخوردار هستند.

Error! Reference source not found. شکل ۵ نمودار حریان زمان را برای سنتر نمونه‌های دو محلول ۰.۵%wt HF+1M Fe(NO₃)₃ و ۰.۵%wt HF تحت ولتاژ ۱۰ ولت می‌باشد. با مقایسه نمودار حریان زمان برای هر دو نمونه ملاحظه می‌شود که افت حریان در محلول حاوی نیترات آهن بیشتر بوده و منطقه جوانه زنی و رشد هم بیشتر است. توجیه این پدیده به علت وجود عنصر آهن است که میزان فلوراید داخل محلول را مصرف می‌کند و تشکیل FeF_n³⁻ⁿ (n=1,2,3,...) می‌دهد. تشکیل نانولوله‌های Fe-TiO₂ با واکنش‌های زیر توجیه پذیر است [۱۴]:



رابطه ۴ نشان می‌دهد که مقداری یون فلوئور مصرف می‌شود.

Error! Reference source not found. شکل ۶ نشان داده شده است نانولوله‌های TiO_2 در محلول حاوی غلظت‌های مختلف نیترات آهن با موفقیت ۱۰ ولت سنتز شدند. تأثیر یون آهن در ساختار نانولوله‌ها در این تصاویر به خوبی مشخص است. حضور یون آهن که غلظت فلوئور را در محلول پایین می‌آورد، قطر نانولوله‌ها را کاهش داده است و با افزایش بیشتر غلظت نیترات آهن تأثیر جزئی روی کاهش نانولوله‌ها داشته است (**Error! Reference source not found.** شکل ۶(ب)), اما با افزایش بیشتر نیترات آهن تا غلظت ۱۵٪ به دلیل مصرف بیش از حد فلور نانولوله‌ها شکل منظم خود را از دست داده‌اند و سطح نسبتاً متخلخل ایجاد شده است (**Error! Reference source not found.** شکل ۶(ج)). میزان بهینه برای غلظت نیترات آهن به طوری که هم نانولوله‌ها به خوبی سنتز شود و هم بیشترین میزان آهن به داخل نانولوله‌ها آلاش شود برابر $0.1M$ می‌باشد. شکل ۷ تصویر EDX از نانولوله‌های آلاش شده می‌باشد که حضور آهن در نانولوله‌ها را اثبات می‌کند و جدول ۳ نتایج آنالیز عنصری EDX است که مقدار آهن موجود را ۱,۲ درصد وزنی نشان می‌دهد.

اسپکتروفوتومتری جهت بررسی میزان حذف آلاینده در شکل ۸ برای دو نانولوله آلاش شده و آلاش نشده نشان داده شده است که میزان جذب برای نانولوله آلاش شده بیشتر می‌باشد لذا خاصیت فتوکاتالیستی افزایش یافته است.

از آنجا که خاصیت فتوکاتالیستی اکسید تیتانیم در فاز آناتاز نسبت به سایر فازها بهتر است و این فاز تحت عملیات حرارتی در دمای $480^\circ C$ درجه سلسیوس در زمان کافی حاصل می‌گردد [۱۵]، نانولوله‌ها را در شرایط مذکور عملیات حرارتی شدند تا فاز آناتاز بدست آید.

نتیجه‌گیری

- ۱) در سنتز نانولوله‌های دی اکسید تیتانیم به روش آندایزینگ، رویدادهای حین سنتز شامل نمودار حریان-زمان و رنگ نانولوله‌ها، می‌تواند معیاری از موفقیت یا عدم موفقیت سنتز نانوساختار مورد نظر باشد.
- ۲) ولتاژ اعمالی تأثیر زیادی روی طول نانولوله‌ها دارد؛ به طوری که با افزایش ولتاژ آندایزینگ تا ۲۰ ولت طول نانولوله‌ها افزایش پیدا می‌کند و جهت‌گیری آن‌ها منظم خواهد شد، اما از ولتاژ ۲۰ ولت بیشتر به دلیل شکست دی‌الکتریک نانولوله‌ها از هم پاشیده و در سطح تشکیل تمی شوند.
- ۳) با افزایش زمان تا ۲۰ دقیقه رشد نانولوله‌ها ادامه پیدا می‌کند اما در زمان‌های بیشتر نانولوله‌ها تخریب می‌شوند.
- ۴) مقدار بهینه نیترات آهن جهت آلاش آهن برابر $1M$ می‌باشد.
- ۵) حضور آلاینده آهن به مقدار چشم‌گیری باعث افزایش خاصیت فتوکاتالیستی می‌شود.

مراجع

1. T.-S. Kang, A. P. Smith, B. E. Taylor, and M. F. Durstock, "Fabrication of highly-ordered TiO₂ nanotube arrays and their use in dye-sensitized solar cells," *Nano letters*, 9, 2009, 601-606.
2. H. Li, L. Cao, W. Liu, G. Su, and B. Dong, "Synthesis and investigation of TiO₂ nanotube arrays prepared by anodization and their photocatalytic activity," *Ceramics International*, 38, 2012, 5791-5797.
3. L. Deng, S. Wang, D. Liu, B. Zhu, W. Huang, S. Wu, *et al.*, "Synthesis, characterization of Fe-doped TiO₂ nanotubes with high photocatalytic activity," *Catalysis letters*, 129, 2009, 513-518.
4. K. Nagaveni, M. Hegde, N. Ravishankar, G. Subbanna, and G. Madras, "Synthesis and structure of nanocrystalline TiO₂ with lower band gap showing high photocatalytic activity," *Langmuir*, 20, 2004, 2900-2907.
5. T. Kasuga, M. Hiramatsu, A. Hoson, T. Sekino, and K. Niihara, "Titania nanotubes prepared by chemical processing," *Advanced Materials*, 11, 1999, 1307-1311.
6. R. Liu, W.-D. Yang, L.-S. Qiang, and J.-F. Wu, "Fabrication of TiO₂ nanotube arrays by electrochemical anodization in an NH₄F/H₃PO₄ electrolyte," *Thin Solid Films*, 519, 2011, 6459-6466.
7. G. K. Mor, O. K. Varghese, M. Paulose, K. Shankar, and C. A. Grimes, "A review on highly ordered, vertically oriented TiO₂ nanotube arrays: fabrication, material properties, and solar energy applications," *Solar Energy Materials and Solar Cells*, vol. 90, 2006 2011-2075.
8. S. Biswas, M. Shahjahan, M. F. Hossain ,and T. Takahashi, "Synthesis of thick TiO₂ nanotube arrays on transparent substrate by anodization technique," *Electrochemistry Communications*, 12, 2010, 668-671.
9. X. Chen, M. Schriver, T. Suen, and S. S. Mao, "Fabrication of 10 nm diameter TiO₂ nanotube arrays by titanium anodization," *Thin solid films*, vol. 515, 2007, 8511-8514.
10. D. Regonini and F. Clemens, "Anodized TiO₂ Nanotubes: Effect of anodizing time on film length, morphology and photoelectrochemical properties," *Materials Letters*, 142, 2015, 97-101.
11. D. Wang, F. Zhou, Y. Liu, and W. Liu, "Synthesis and characterization of anatase TiO₂ nanotubes with uniform diameter from titanium powder," *Materials Letters*, 62, 2008, 1819-1822.
12. J. Macak, H. Tsuchiya, A. Ghicov, K. Yasuda, R. Hahn, S. Bauer, *et al.*, "TiO₂ nanotubes: self-organized electrochemical formation, properties and applications," *Current Opinion in Solid State and Materials Science*, 11, 2007, 3-18.
13. Y.-F. Tu, S.-Y. Huang, J.-P. Sang, and X.-W. Zou, "Preparation of Fe-doped TiO₂ nanotube arrays and their photocatalytic activities under visible light," *Materials Research Bulletin*, 45, 2010, 224-229.

14. L. Sun, J. Li, C. Wang, S. Li, H. Chen, and C. Lin, "An electrochemical strategy of doping Fe³⁺ into TiO₂ nanotube array films for enhancement in photocatalytic activity," *Solar Energy Materials and Solar Cells*, 93, 2009, 1875-1880.
15. Y.-K. Lai, J.-Y. Huang, H.-F. Zhang, V.-P. Subramaniam, Y.-X. Tang, D.-G. Gong, *et al.*, "Nitrogen-doped TiO₂ nanotube array films with enhanced photocatalytic activity under various light sources," *Journal of Hazardous Materials*, 184, 2010, 855-863.

جدول ۱: مواد مورد استفاده در مرحله اکسیداسیون آندی

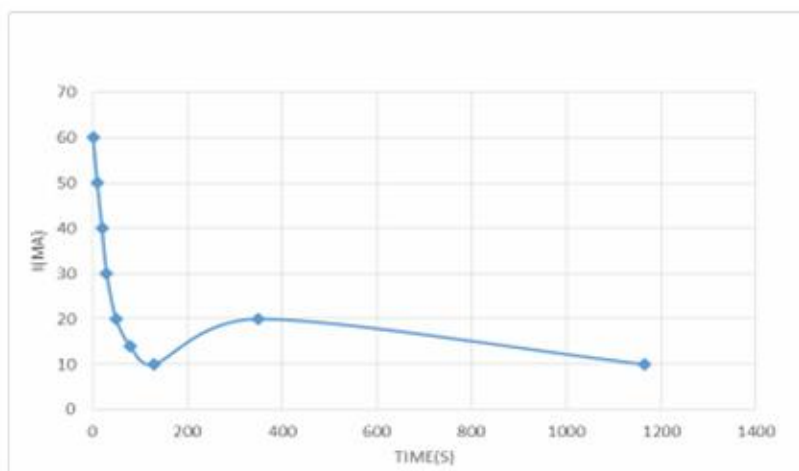
ردیف	نام مواد و ترکیب شیمیایی	کیفیت و کارخانه سازنده
۱	متل اورانز (MO)	MERCK Pro Analysi
۲	نیترات آهن (Fe(NO ₃) ₃)	MERCK Pro Analysi
۳	آمونیاک (NH ₃ H ₂ O)	
۴	اسید هیدروفلوئوریک (HF)	MERCK Pro Analysi
۵	آب بون زدایی شده	

جدول ۲: الکتروولیت های مورد استفاده در آندائزینگ

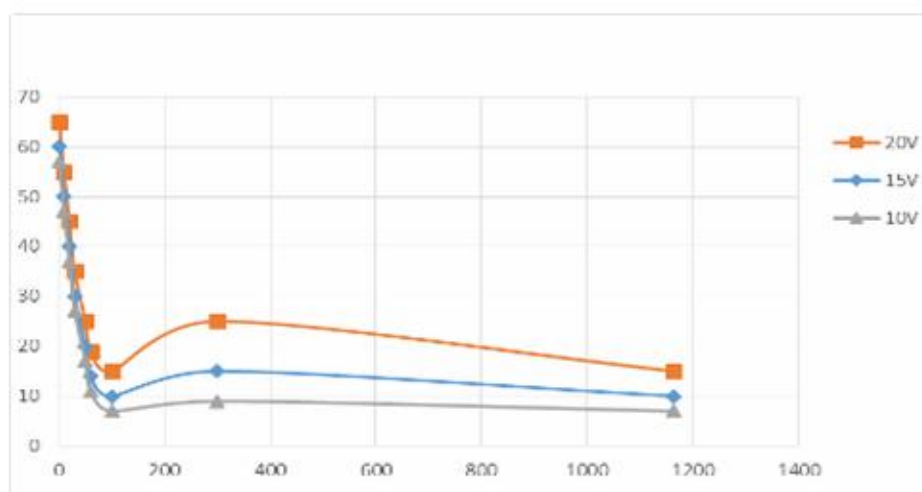
الکتروولیت	ولتاژ (ولت)	زمان (دقیقه)
HF0.5wt%	۲۰ و ۱۵ و ۱۰	۳۰ و ۲۰
HF1wt%	۲۰	۳۰ و ۲۰
HF 0.5%wt+0.5,1,1.5wt%Fe(NO ₃) ₃	۱۰	۲۰

جدول ۳: نتایج آنالیز عصری EDX

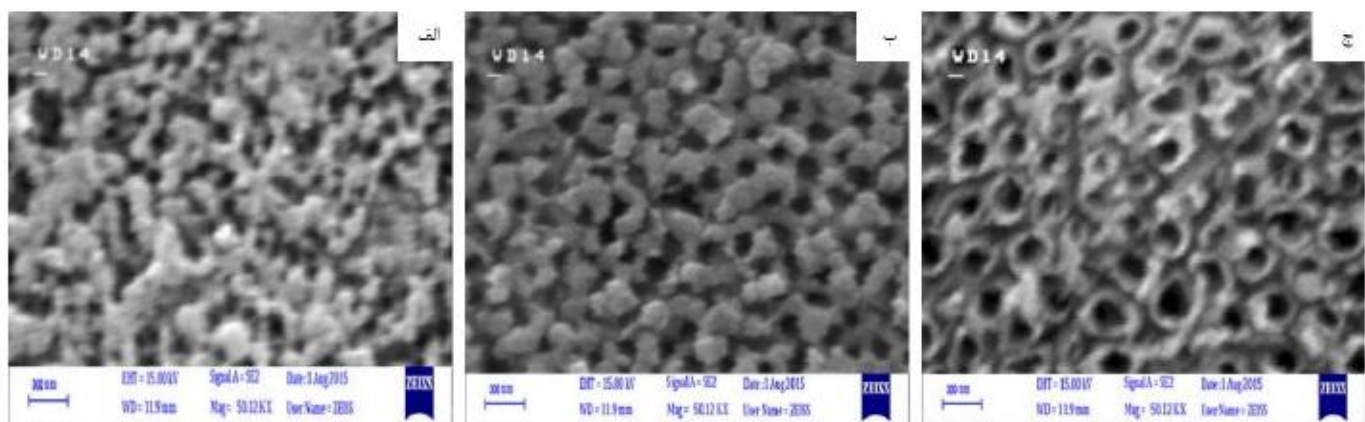
Elt	Line	Int	Error	K	Kr	W%	A%
O	Ka	191.3	10.9833	0.0468	0.0346	38.13	64.98
Ti	Ka	3225.5	0.7378	0.9499	0.7021	60.75	34.38
Fe	Ka	5.8	0.2004	0.0034	0.0025	1.12	0.64
				1.0000	0.7391	100.00	100.00



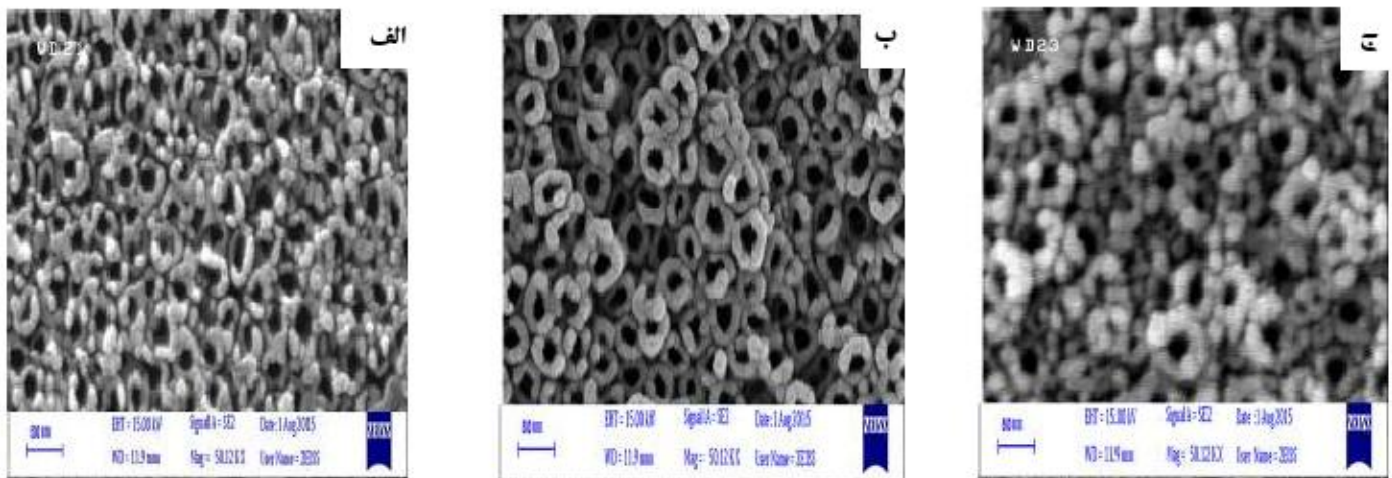
شکل ۱: نمودار جریان-زمان برای نمونه ستر شده در ولتاژ ۲۰ و محلول ۱٪ وزنی HF



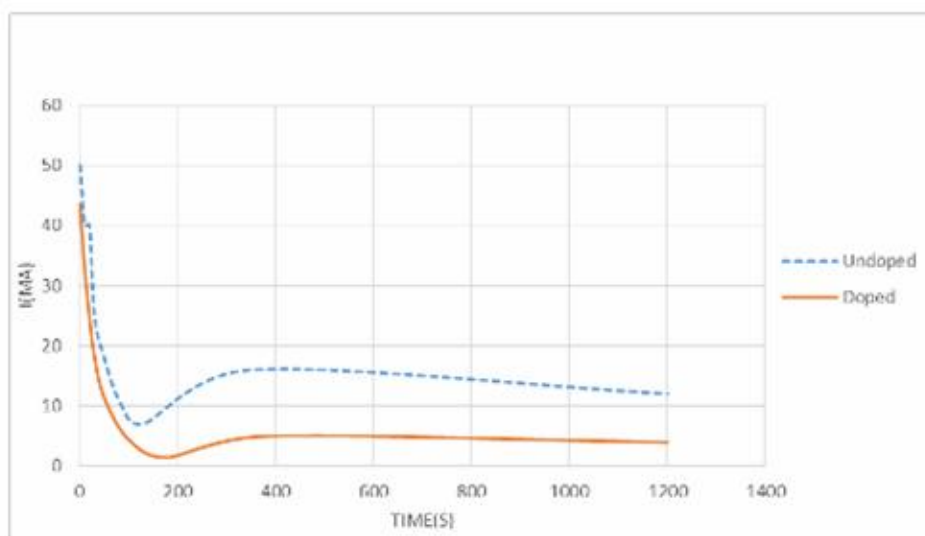
شکل ۲: منحنی های جریان-زمان برای نمونه های آندایز شده در سه ولتاژ ۱۰، ۱۵ و ۲۰ ولت



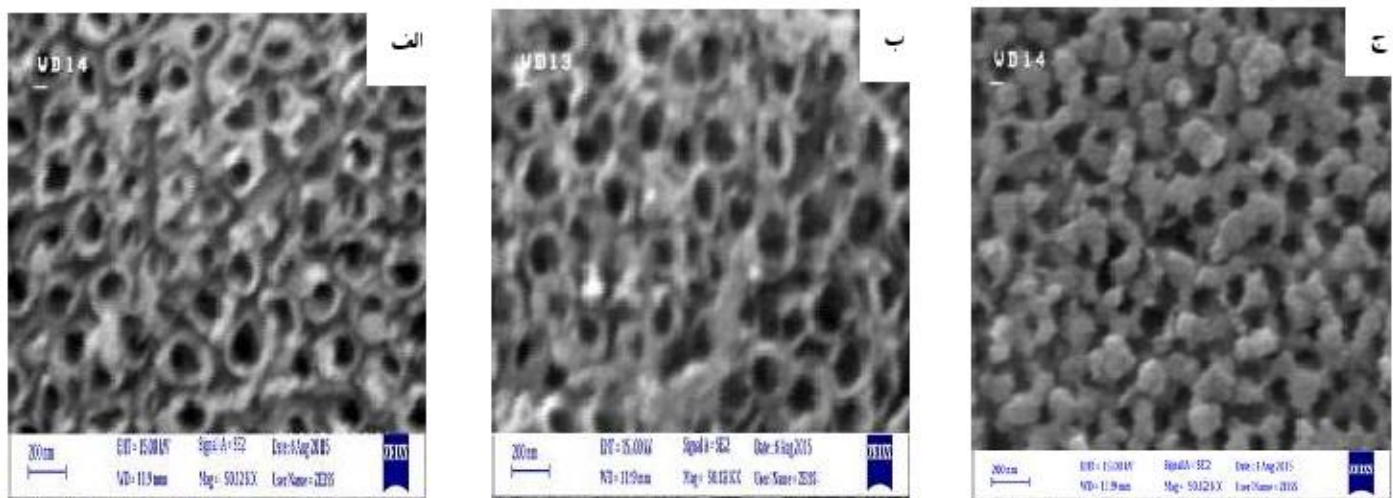
شکل ۳: تصاویر میکروسکوپی الکترونی رویشی از تیتانیوم آندایز شده در الکتروولیت اسید فلوریدریک ۰,۵٪ درصد وزنی (الف) ولتاژ ۱۰ ولت
ب) ولتاژ ۱۵ ولت ج) ولتاژ ۲۰ ولت



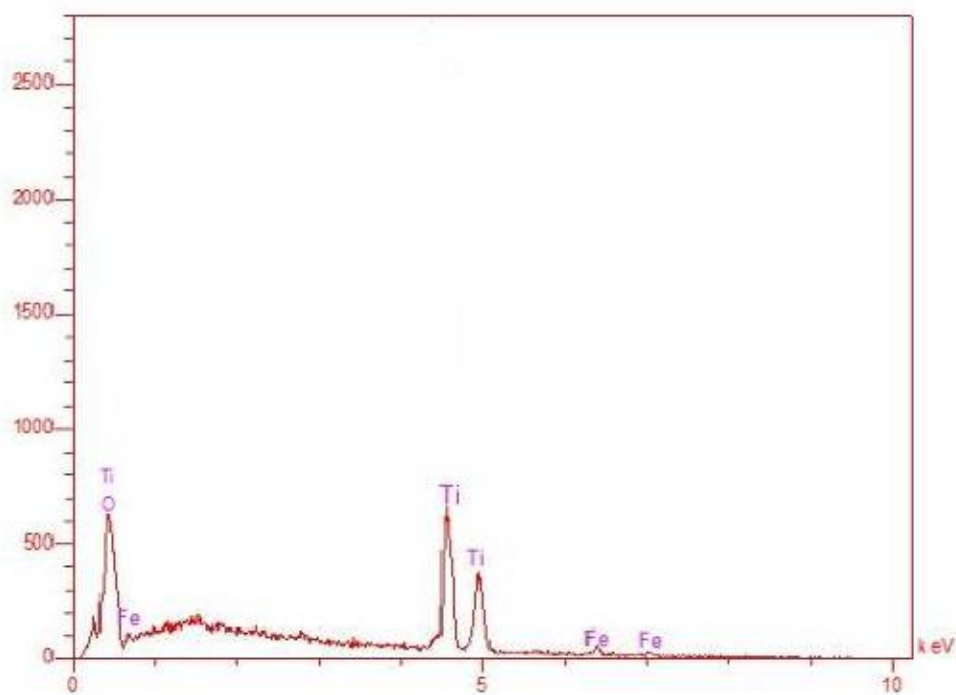
شکل ۴: تصاویر میکروسکوپی الکترونی روشی از نانولوله های ستر شده در (الف) ۱۵ دقیقه، (ب) ۲۰ دقیقه و (ج) ۳۰ دقیقه



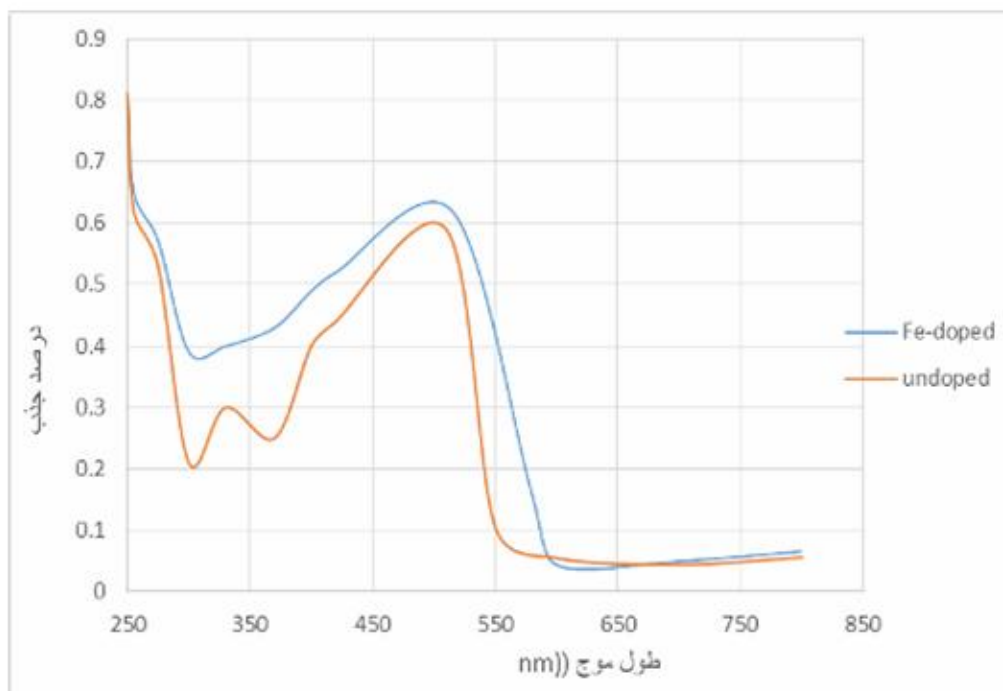
شکل ۵: نمودار جریان-زمان برای نمونه های آلایش شده و نشده در ولتاژ ۱۰ ولت



شکل ۶: تصاویر میکروسکوپی الکترونی رویشی از نانولوله های مختلف (الف) ۰,۰۵ (ب) و (ج) ۱۵,۰ مولار نیترات آهن در ولتاژ ۱۰ ولت



شکل ۷: تصویر EDX از نانولوله های آلایش شده با آهن



شکل ۸: طیف UV/VIS محلول‌های نمونه‌برداری شده از آزمون فترکاتالیزوری نانوللهای آلایش شده با آهن و آلایش نشده